

大阪大学 正員 小松定夫

同 李 恒寶

同 ○西村宣男

I. 考え方 プレートガーダーの極限強度に関する実験的あるいは理論的研究は二、三十年程の間に数多く発表され、合理的設計の可能性が認められている。大阪大学においては、現行示方書規定の Slenderness ratio $b/t = 200 \sim 400$ の腹板を有するプレートガーダーに付し、曲げモーメントせん断力、及びその両方を同時に受ける場合について、一連の実験を行っている。桁材質は SM 50 であり試験パネルは Fig. 1 に示すように垂直及び水平補剛材を有し、且つ圧縮側フランジと腹板の取付部分は一枚の帯状のコーナープレートによって補強されているところに特色がある。本文はせん断力を受ける場合についての実験結果を報告する。

II. 実験概要 セン断パネルに使用した試験桁の諸元は表 1 に示す如くで Aspect ratio $\alpha = 0.5$ に対し 3 種類の Slenderness ratio と 2 種類の水平補剛材を組合せて 5 体である。実験は Fig. 2 に示すように共通の支持桁に高張力ボルトで試験桁を取付け、150t 油圧ジャッキによて載荷し、多数の荷重段階における試験パネルのひずみ量をダイヤルゲージ、抵抗線ひずみゲージにより測定し、且つ崩壊様式を観察した。

III. 実験結果と考察 1. 現在セン断パネルについては A-1, A-3, A-5 の 3 体について実験が完了している。各桁の腹板座屈荷重及ぶ極限荷重を表 2 に示す。2. セン断パネルといえども實際には純粹にせん断力のみが作用するわけではない。試験パネルは水平補剛材によつて等しい形状の Subpanel に分割されてはいるが、僅かな曲げモーメントの存在のために、腹板の座屈は圧縮側の

表 1 試験桁諸元

試験番号	Aspect ratio	Slenderness ratio	Web 厚	水平補剛材
A-1	0.5	200	3.2 mm	1 本 $b/2$
A-2	0.5	225	3.2	1 $b/2$
A-3	0.5	225	3.2	2 $b/3$ $2b/3$
A-4	0.5	250	3.2	1 $b/2$
A-5	0.5	250	3.2	2 $b/3$ $2b/3$

表 2 腹板座屈荷重と極限荷重

試験番号	腹板座屈荷重 (t)			極限荷重 B/A
	Upper Subpanel	Middle Subpanel	Lower Subpanel	
A-1	58	—	73	87.2 1.50
A-2	—	—	—	—
A-3	72.5	77	81	91.1 1.25
A-4	—	—	—	—
A-5	73	84	89	98.0 1.34

Fig. 1 Test panel

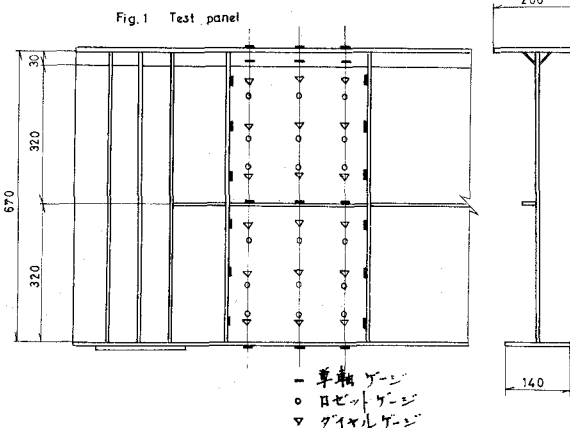
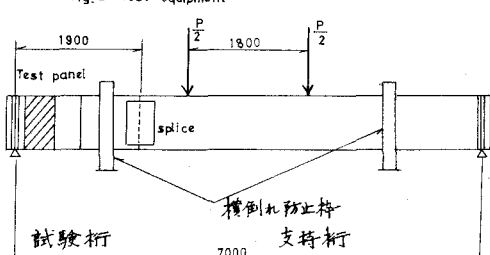


Fig. 2 Test equipment



Subpanelから引張側のSubpanelへと順に生ずる。(表2及びFig. 3参照) 又座屈波形は純粹のせん断座屈より多少異なるが、変形の増大につれて斜張力が十分作用するとSubpanelの対角線に沿って写真1及び2に示すように座屈波形の山が整形される。3. 座屈波形は必ず補剛材のない側へ凸面を有し、垂直及び水平補剛材との二つでmodeとなり隣接パネルを通じて座屈波形が伝達する方ではない。

4. セン断パネルの崩壊の様式は全Subpanelに斜張力場が形成された後で、腹板の降伏のために変形が増大し、垂直補剛材に座屈が生ずる経過をたどる。(Fig. 4参照) 5. 圧縮側フランジにコーナーフレートを設けたことは曲げパネルにおいて非常に効果的に働くが、セン断パネルにおいてもコーナーフレートが腹板の固定辺となり座屈に対して有利である。又腹板の降伏時に圧縮フランジに局部的なねじり座屈や、腹板内へとめり込みが見られない。6. セン断パネルの3体の実験を通じて表1に示したように多大の形状の相違はあるものの範囲では、極限の挙動に本質的な差異は認められない。

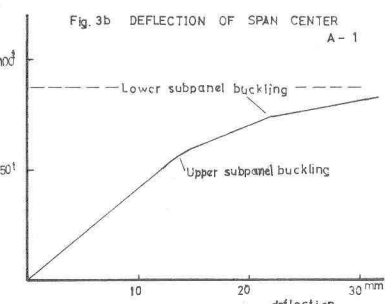
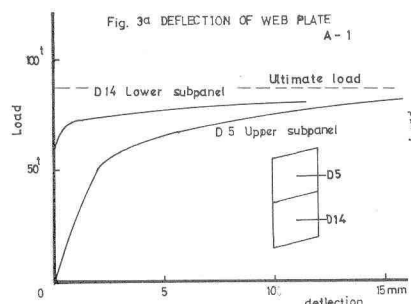


Fig. 4 Flange and Stiffener Strain A-5

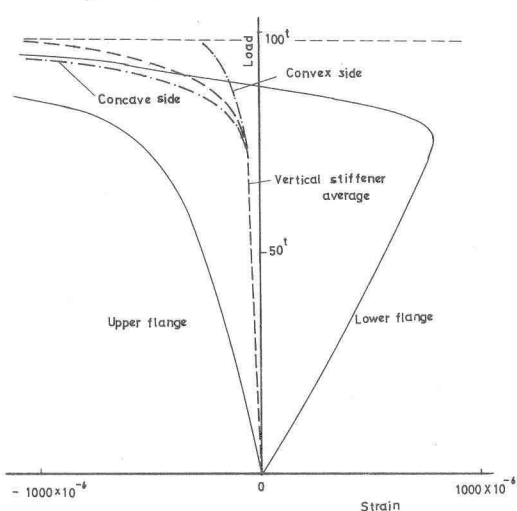


写真1

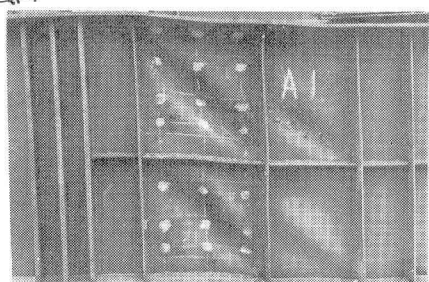
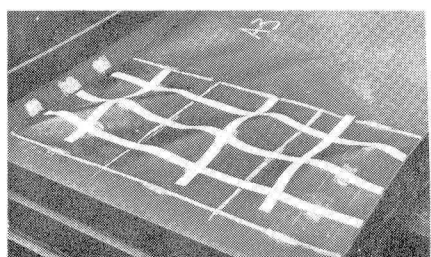


写真2



IV. あとがき 実験は予定通りに行なわれ、講演当日にセン断パネルの残りと曲げてセン断を同時に受けた場合についても併せてスライドにより発表する。なお、実験に際して数多くの援助を寄せられた大阪市橋梁課 汽車製造KK 及び大阪大学学生諸氏に感謝の意を表す。